

1/18

Fig.1

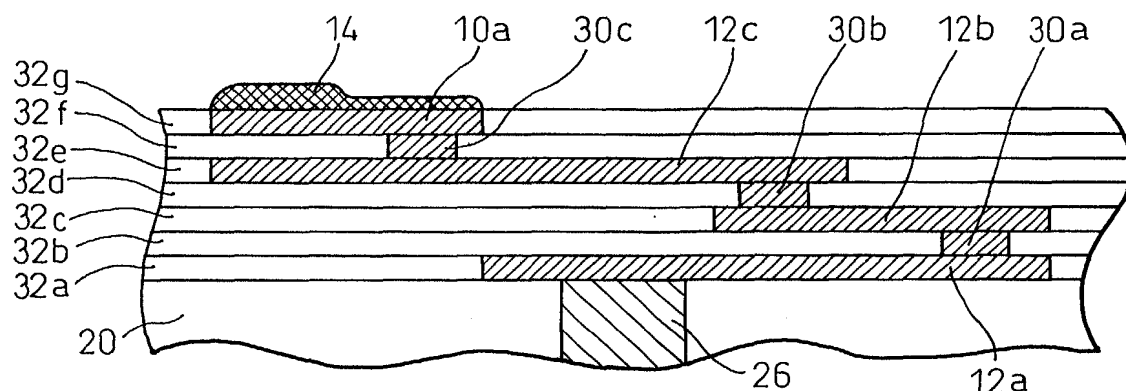


Fig.2

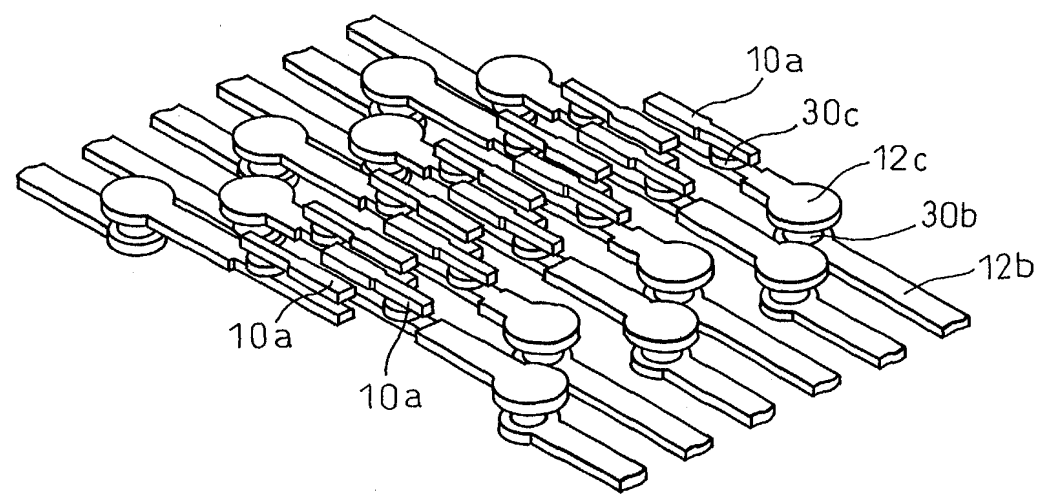


Fig.3

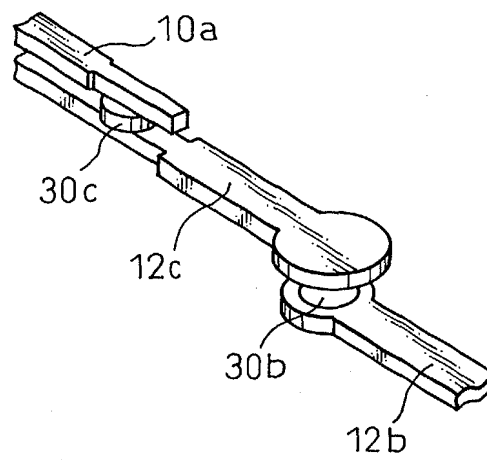


Fig.4

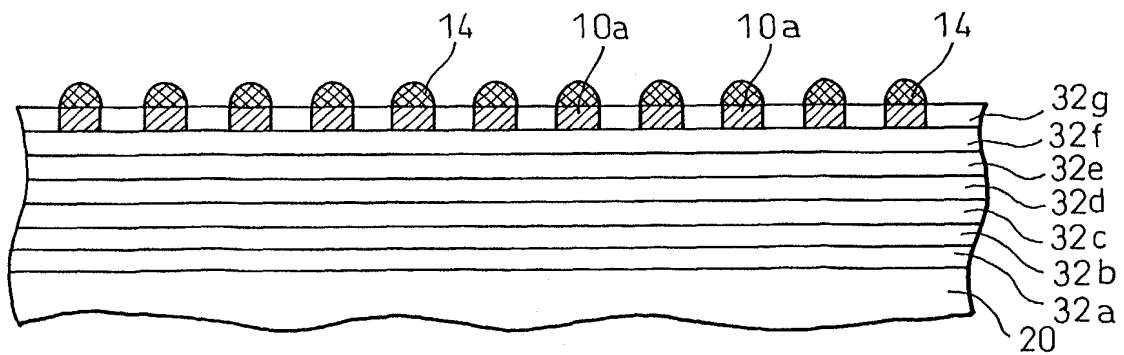


Fig.5

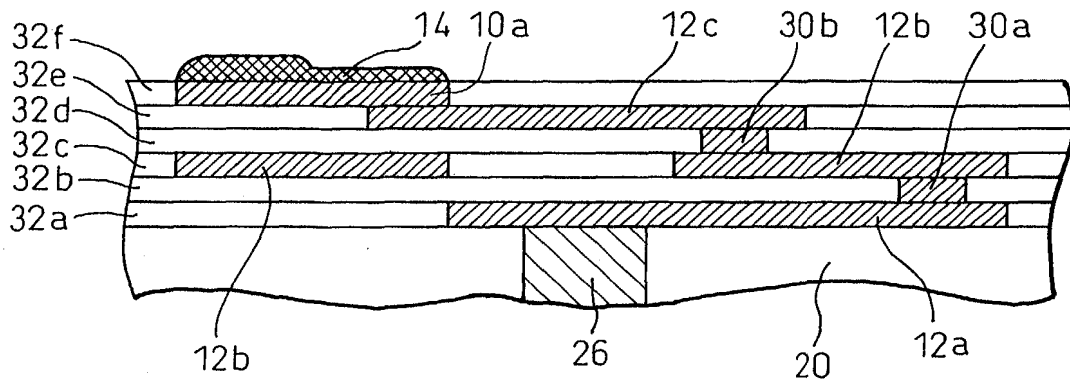


Fig.6

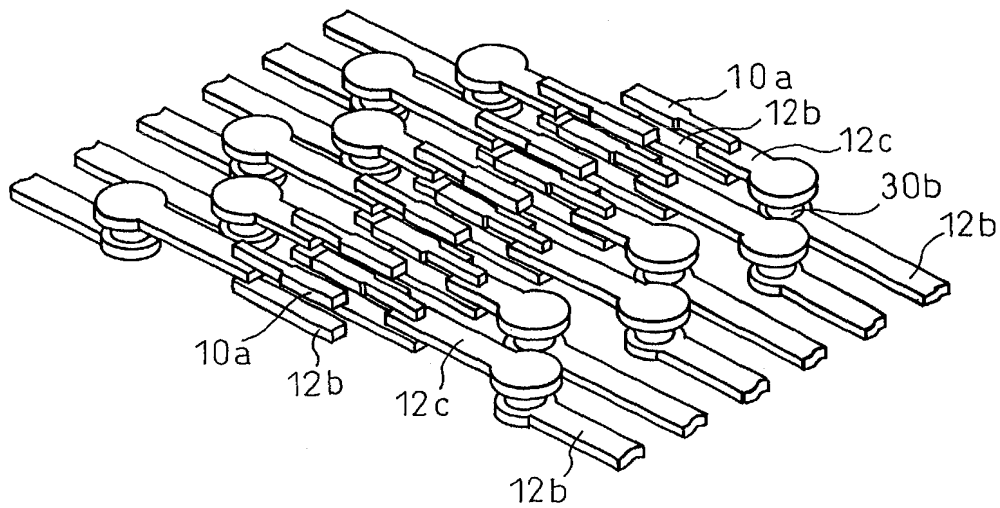


Fig.7

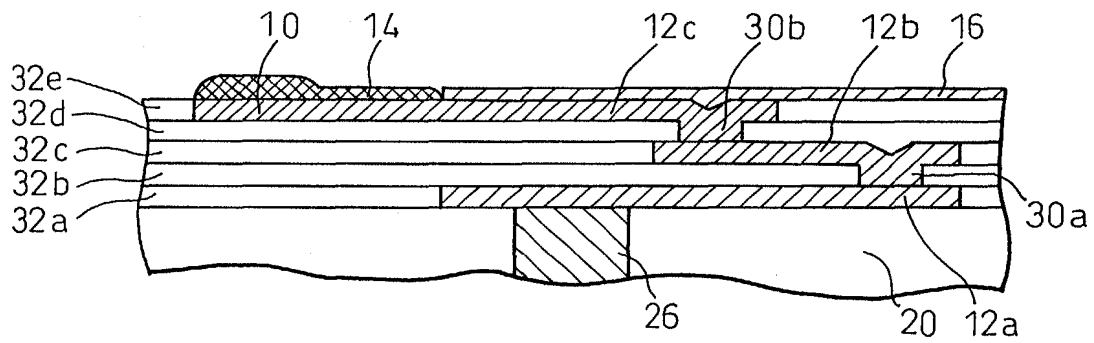


Fig.8

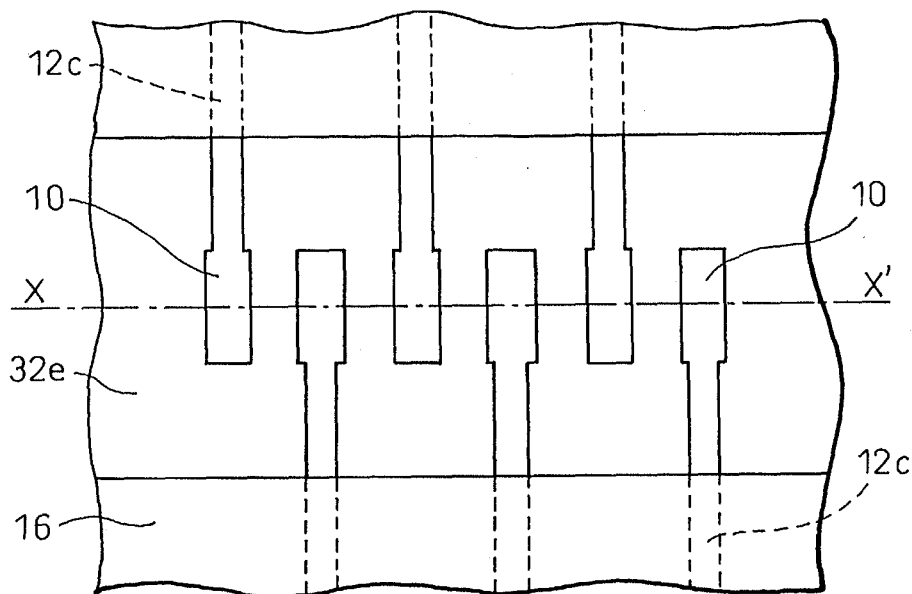


Fig.9

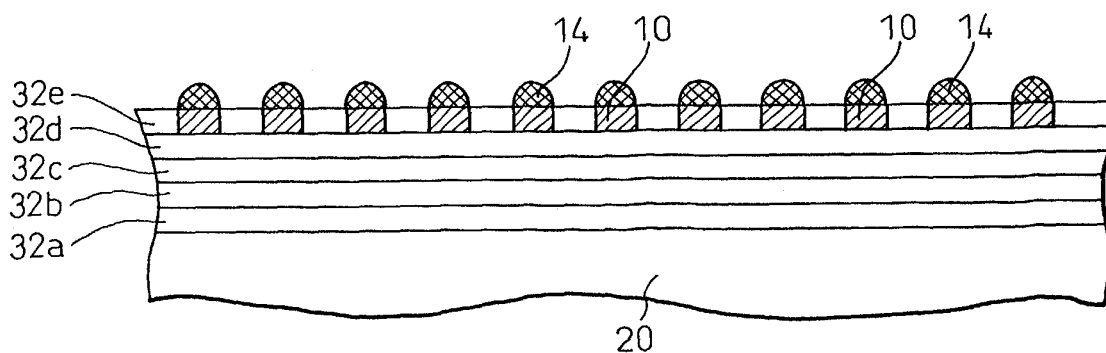


Fig.10

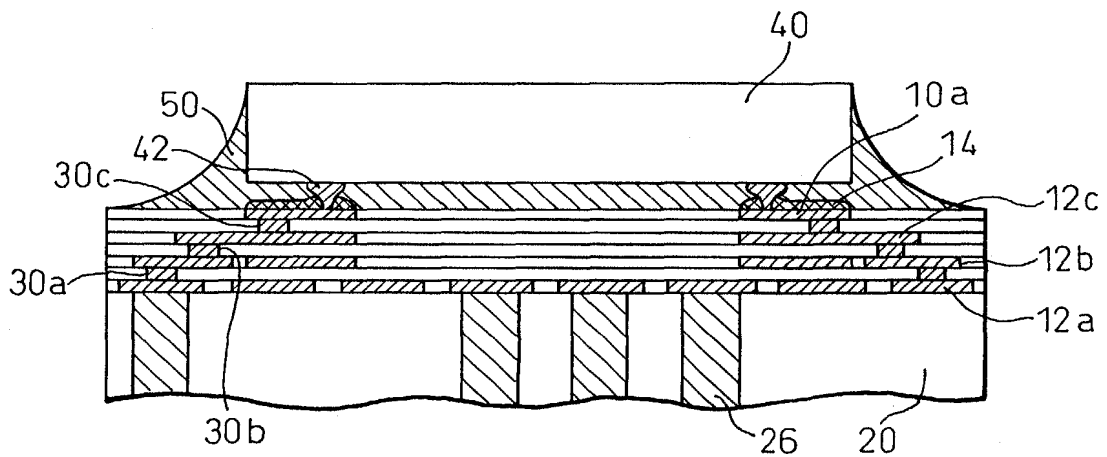


Fig.11

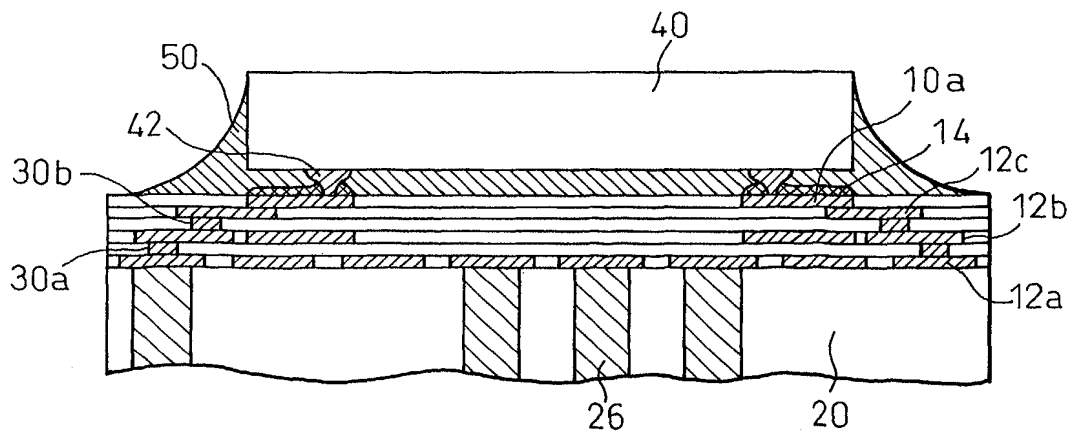


Fig.12

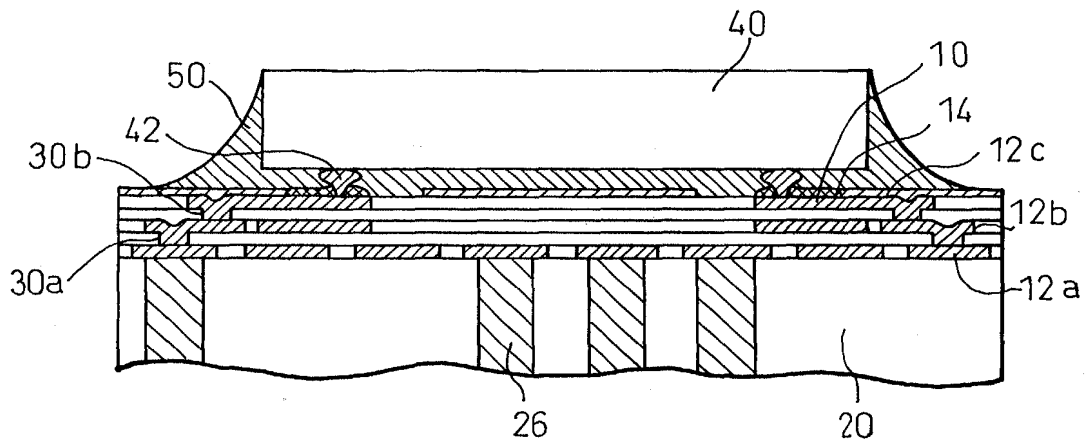


Fig.13

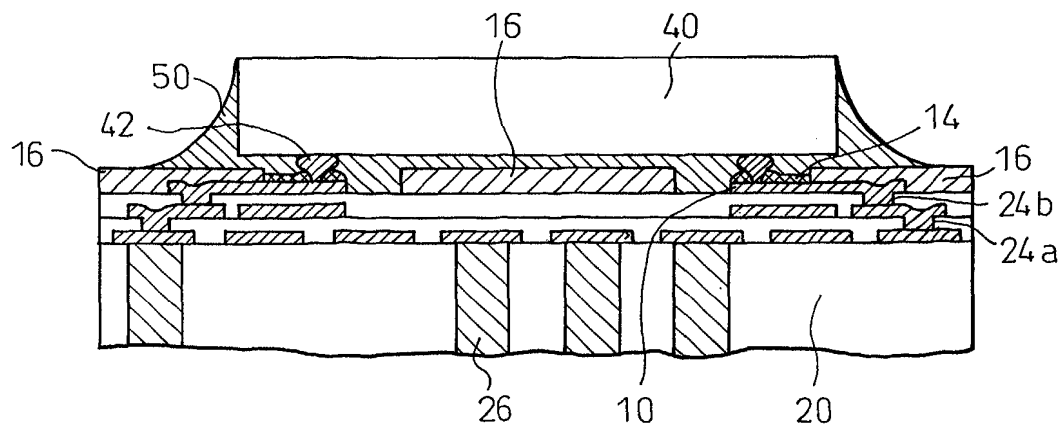


Fig.14

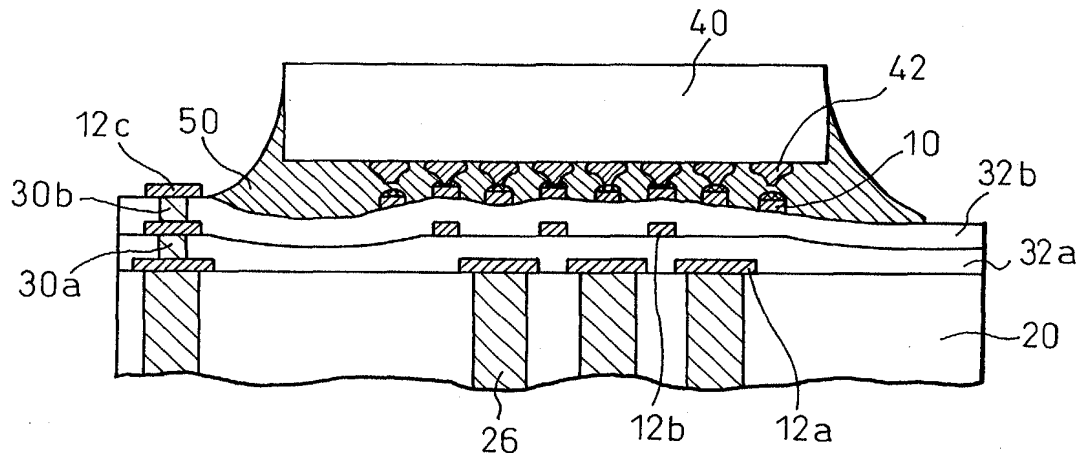


Fig.15

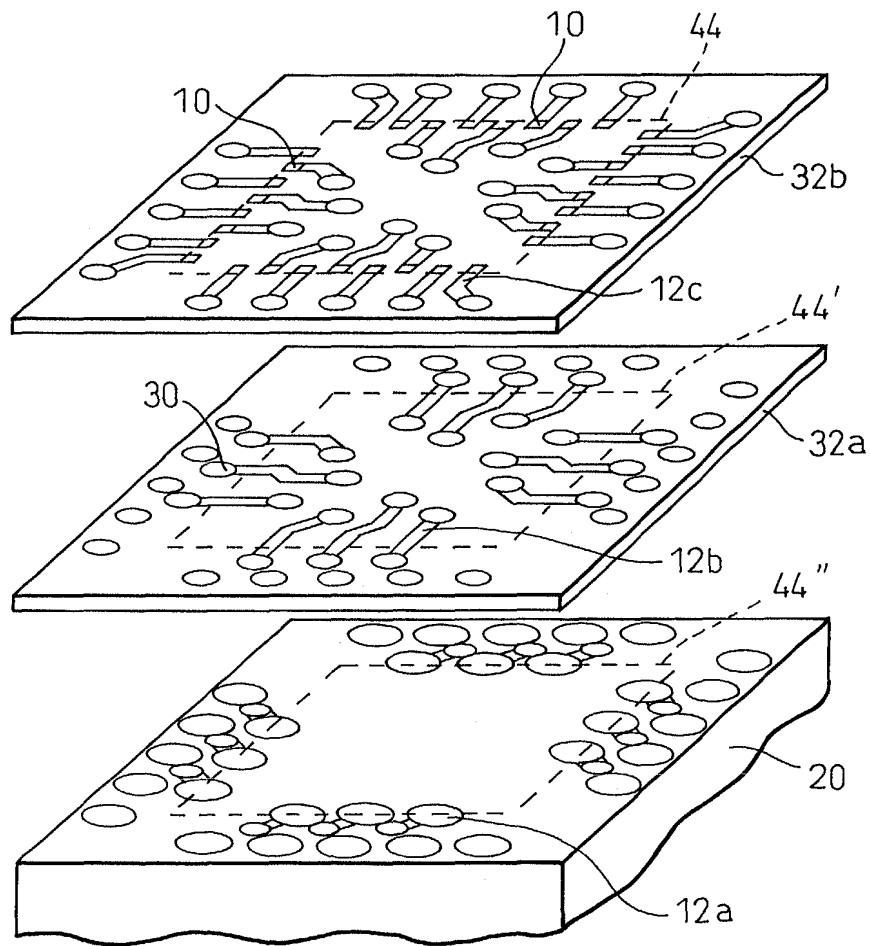


Fig.16

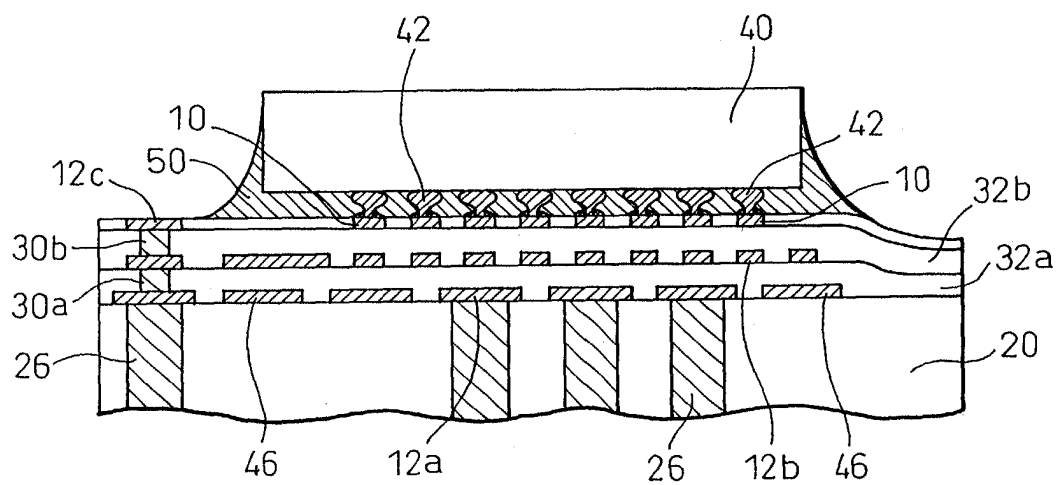


Fig.17

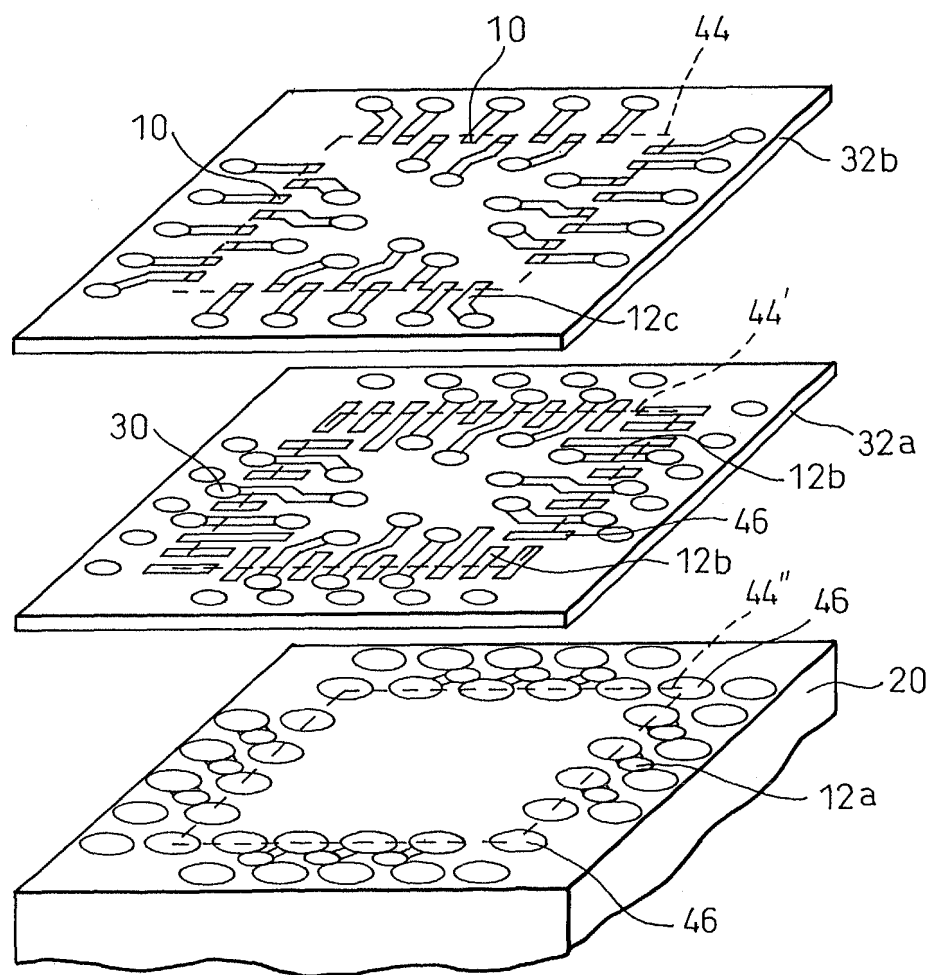


Fig.18A

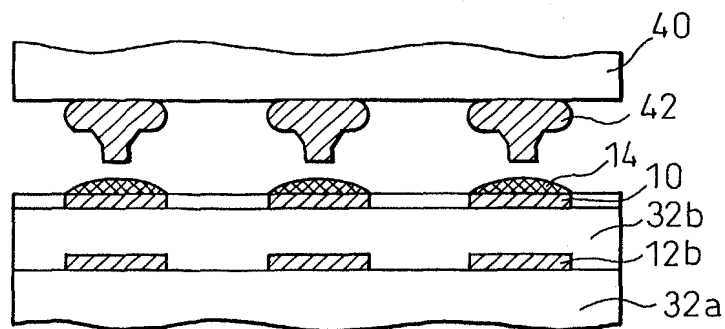


Fig.18B

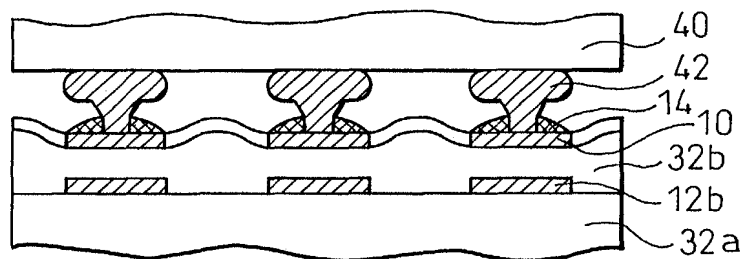


Fig.18C

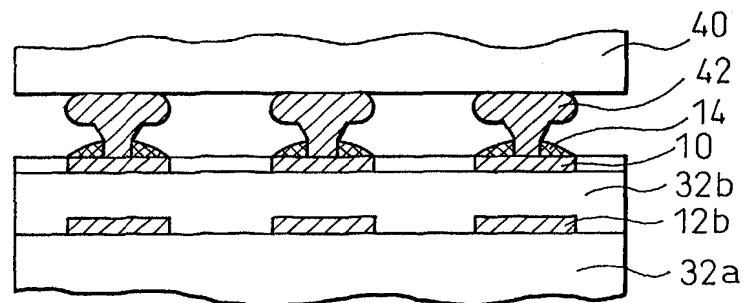


Fig.19A

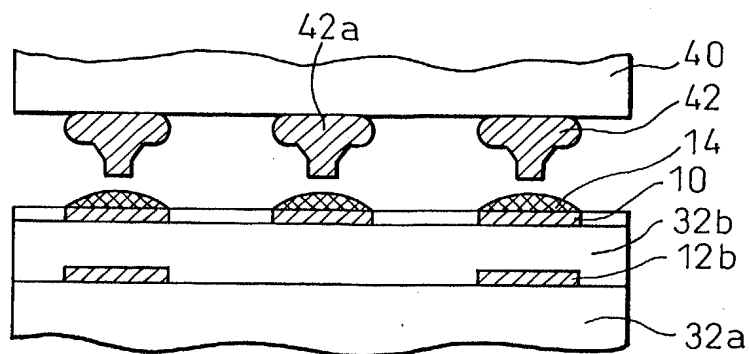


Fig.19B

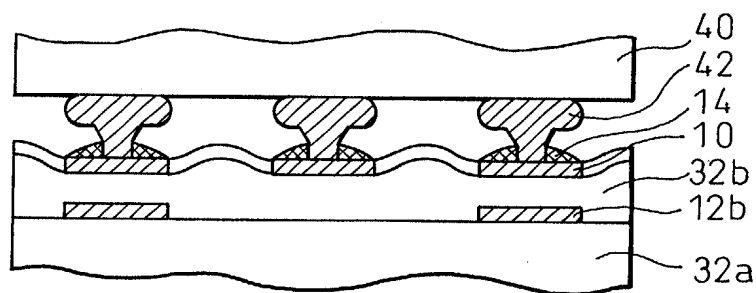
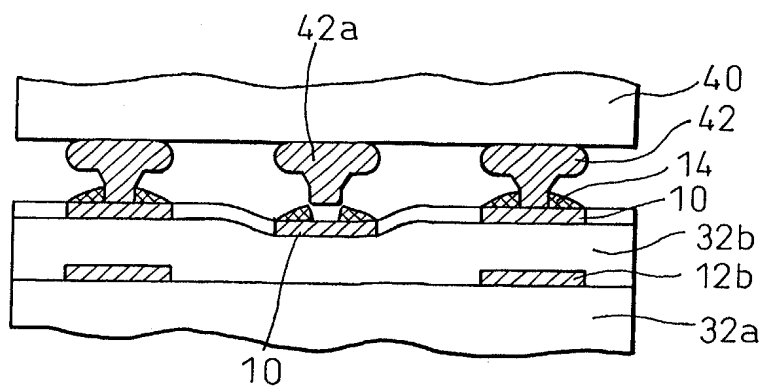


Fig.19C



14/18

Fig.20

PRIOR ART

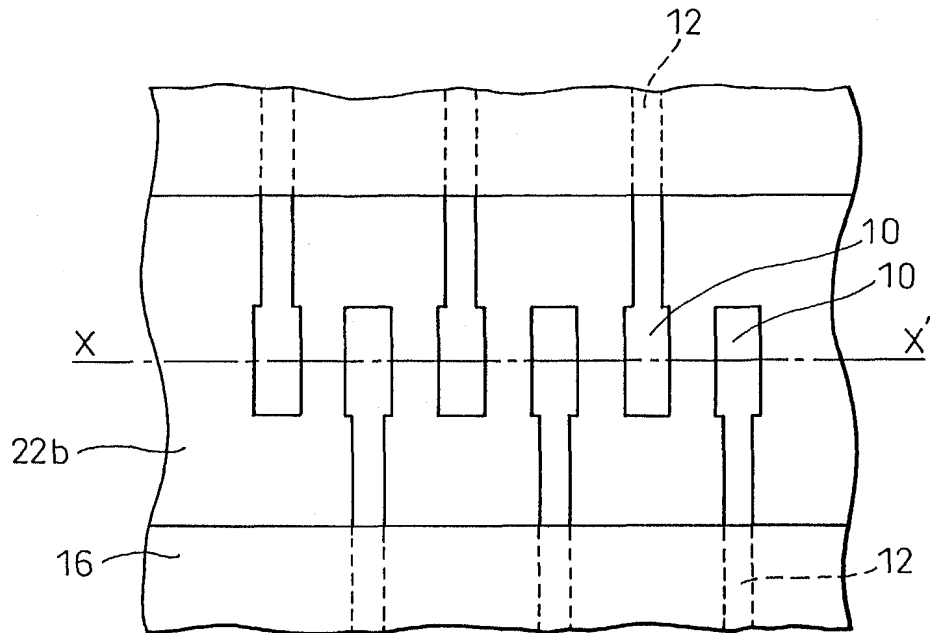


Fig.21

PRIOR ART

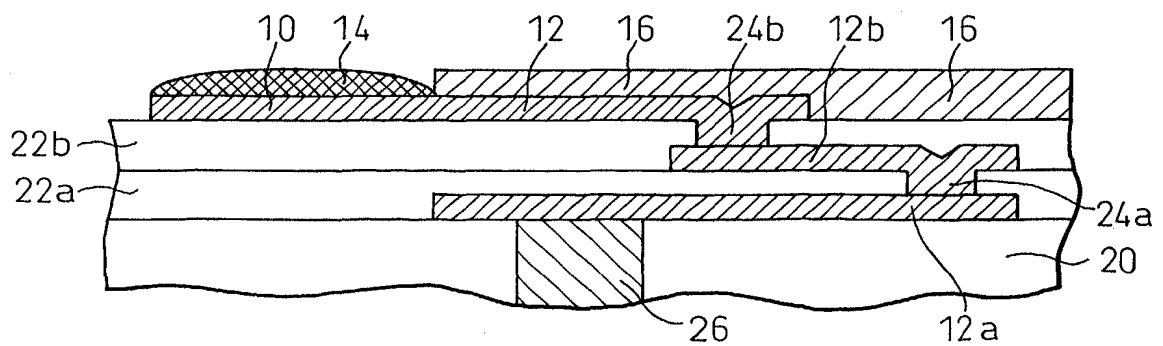


Fig.22
PRIOR ART

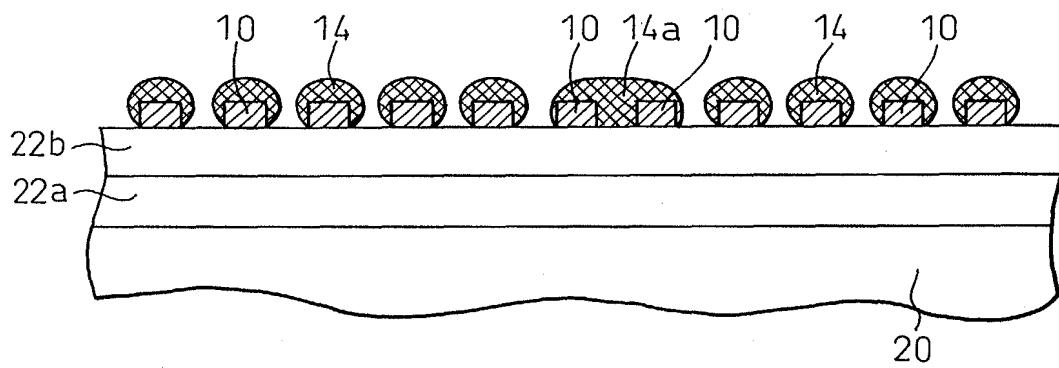


Fig.23

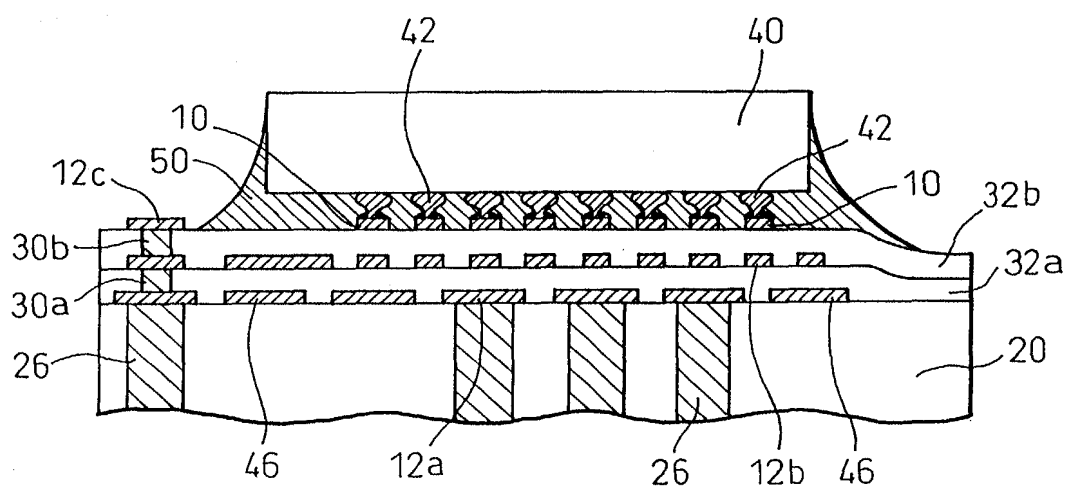


Fig.24A

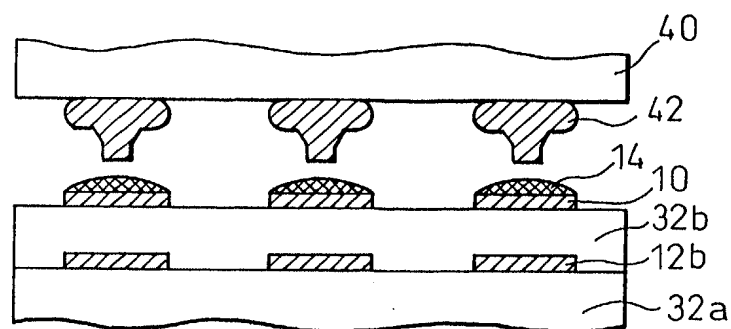


Fig.24B

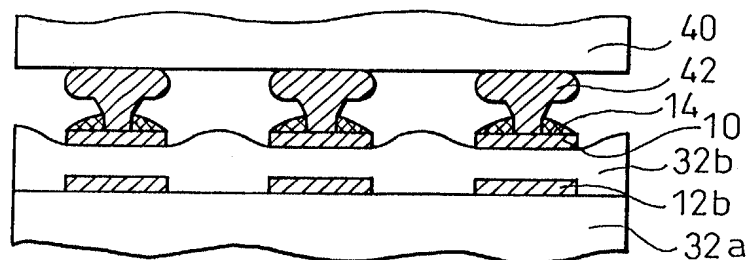


Fig.24C

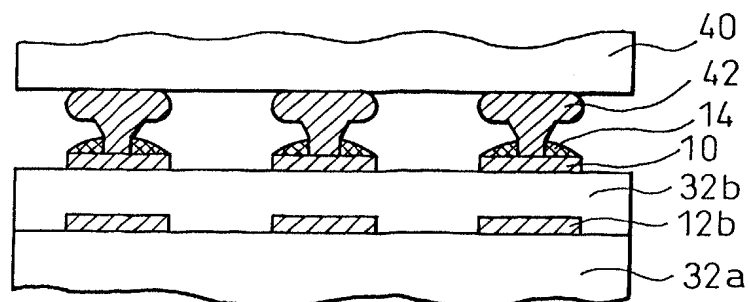


Fig. 25A

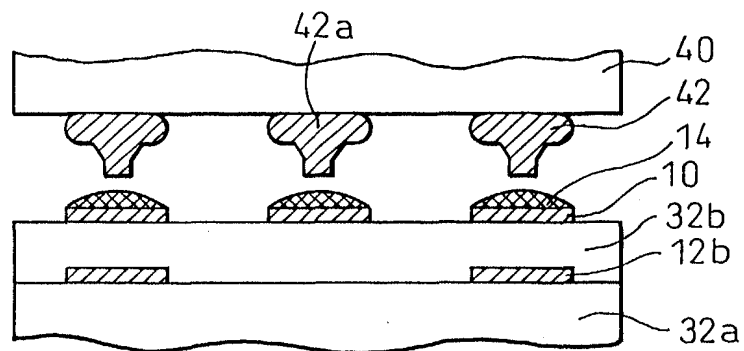


Fig. 25B

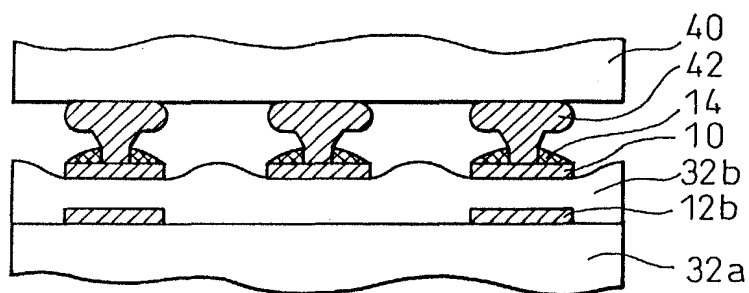


Fig. 25C

